

# Axial Vector Form Factors from Lattice QCD that Satisfy the PCAC Relation

Phys. Rev. Lett. 124, 072002 (2020)

Yong-Chull Jang, Rajan Gupta, Boram Yoon, Tanmoy Bhattacharya

概要:

Lattice QCDで得られる  $G_A(Q^2)$ ,  $\tilde{G}_P(Q^2)$ ,  $G_P(Q^2)$  の問題を  
解決する解析方法の提案

## Axialvector and pseudoscalar form factors

$G_A(Q^2)$  : Axial(vector) form factor

$\tilde{G}_P(Q^2)$  : Induced pseudoscalar form factor

$G_P(Q^2)$  : Pseudoscalar form factor

$$\langle N(p) | A_\mu(0) | N(p') \rangle = \bar{u}_N(p) \left( \gamma_\mu \gamma_5 G_A(Q^2) + \frac{i q_\mu}{2M_N} \gamma_5 \tilde{G}_P(Q^2) \right) u_N(p')$$

$$\langle N(p) | P(0) | N(p') \rangle = \bar{u}_N(p) \gamma_5 G_P(Q^2) u_N(p')$$

$A_\mu = \bar{u} \gamma_\mu \gamma_5 d$ ,  $P = \bar{u} \gamma_5 d$ ,  $u_N(p)$ : 運動量  $p$  の核子スピノール

$Q^2 = Q_{\text{Eucl}}^2 = 2M_N(E_N(p) - M_N)$  : spacelike momentum transfer

## Partially Conserved Axial(vector) Current (PCAC) relation

$$2m_q P = \partial_\mu A_\mu \quad (m_q = m_u = m_d)$$

Form factor を使うと

$$2m_q G_P(Q^2) = 2M_N G_A(Q^2) - \frac{Q^2}{2M_N} \tilde{G}_P(Q^2)$$

## Axialvector form factorsの問題

① PCAC relation が満たされない

$$\text{PCAC relation 変形版} \quad \frac{m_q G_P(Q^2)}{M_N G_A(Q^2)} + \frac{Q^2 \tilde{G}_P(Q^2)}{4M_N^2 G_A(Q^2)} = 1$$

② 小さい  $Q^2$  で Pion Pole Dominance (PPD) Model と合わない

$$\text{PPD} \quad \tilde{G}_P(Q^2) = \frac{4M_N^2 G_A(Q^2)}{M_\pi^2 + Q^2} \text{ or } \frac{\tilde{G}_P(Q^2) M_\pi^2 + Q^2}{G_A(Q^2) 4M_N^2} = 1$$

PPD は実験とは一致 [MuCap, PRL110:012504(2013); PRC91:055502(2015),  
Choi *et al.*, PRL71:3927(1993)]

③  $A_4$  と  $A_i$  の計算に大きな違いがある

④  $r_A$  が実験値より小さい

$$r_A = \sqrt{\langle r_A^2 \rangle} = \sqrt{-\frac{1}{6} \frac{dG_A(Q^2)}{dQ^2}} \Big|_{Q^2=0} \quad \text{実験値} \sim 0.67\text{fm} \leftrightarrow \text{lattice} \sim 0.5\text{fm}$$

## 従来解析方法 ( $\mathcal{S}_{2\text{pt}}$ )

核子2点関数

$$C_p^{2\text{pt}}(t) = \text{Tr} \left[ \mathcal{P}_+ \langle 0 | N(t; p) \bar{N}(0; p) | 0 \rangle \right] = \sum_{i=0}^{N^{2\text{pt}}} B_i^2(p) e^{-E_i(p)t}$$

$\mathcal{P}_+ = (1 + \gamma_4)/2$ ,  $B_i(p)$ :核子演算子規格化定数,  $i$ :状態のラベル

$$E_0(p) = E_N(p), \quad E_0(0) = M_N, \quad M_i \equiv E_i(0)$$

核子3点関数

$$\begin{aligned} C_{\mathcal{O},p}^{3\text{pt}}(t, \tau) &= \text{Tr} \left[ \mathcal{P}_{53} \langle 0 | N(\tau; 0) \mathcal{O}(t; q) \bar{N}(0; p) | 0 \rangle \right] \\ &= \sum_{i,j=0}^{N^{3\text{pt}}} B_i(0) B_j(p) \overline{\langle N_i(0) | \mathcal{O} | N_j(p) \rangle} e^{-M_i(\tau-t)} e^{-E_j(p)t} \end{aligned}$$

$\mathcal{O} = A_\mu$  or  $P$ ,  $\mathcal{P}_{53} = (1 + \gamma_4)\gamma_3\gamma_5/2$ ,  $i, j$ :状態のラベル

## $\mathcal{S}_{2\text{pt}}$ 解析

1.  $N^{2\text{pt}} = 3$  で  $C_p^{2\text{pt}}(t)$  フィット  $\rightarrow E_i(p), B_i(p)$  ( $p = 0$  も含む)
2.  $E_i(p), B_i(p)$  を使って  $N^{3\text{pt}} = 2$  但し  $(i, j) \neq (2, 2)$  で  $C_{\mathcal{O},p}^{3\text{pt}}(t, \tau)$  フィット  
 $\rightarrow \overline{\langle N_0(0) | \mathcal{O} | N_0(p) \rangle}$

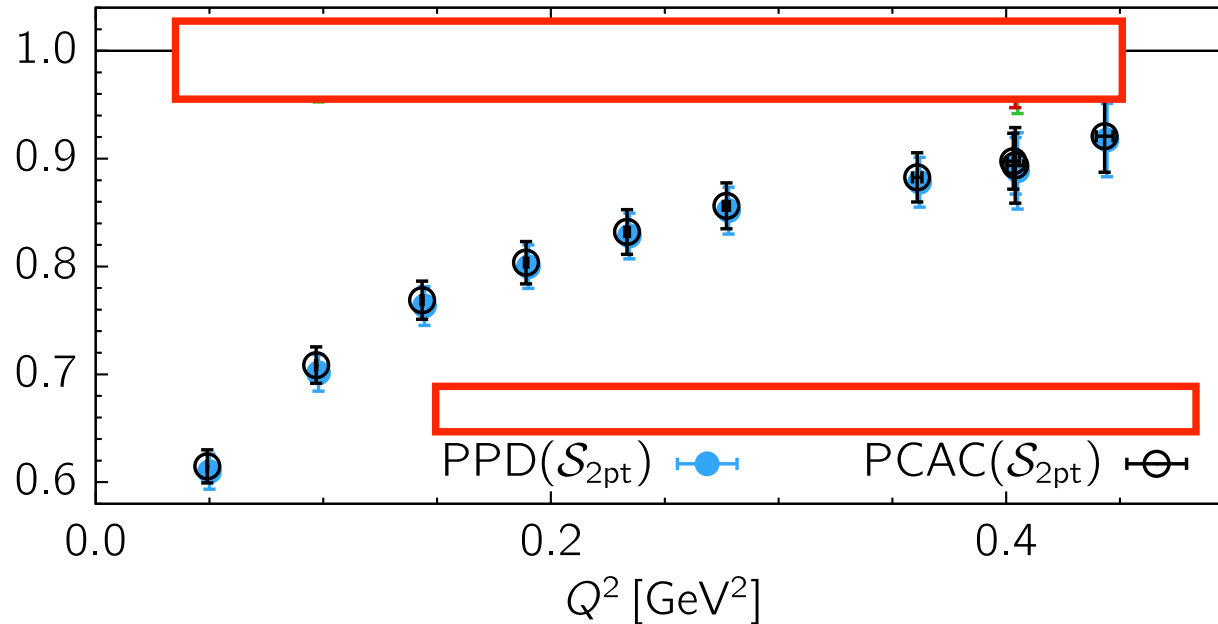
## 従来解析方法(続き)

$\overline{\langle N_0(0) | \mathcal{O} | N_0(p) \rangle}$  と Form factor の関係 (共通の overall 定数を省く)

$\mathcal{O}$	$\overline{\langle N_0(0)   \mathcal{O}   N_0(p) \rangle}$
$A_i$	$-q_3 q_i \frac{\tilde{G}_P(Q^2)}{2M_N} \quad (i = 1, 2)$
$A_3$	$(E_N(p) + M_N)G_A(Q^2) - q_3^2 \frac{\tilde{G}_P(Q^2)}{2M_N}$
$A_4$	$i q_3 \left[ G_A(Q^2) - (E_N(p) - M_N) \frac{\tilde{G}_P(Q^2)}{2M_N} \right]$
$P$	$i q_3 G_P(Q^2)$

$\mathcal{P}_{53}$  を使ったため  $A_i$  と  $A_3$  が違う

## 問題①と② PCACとPPD



PCAC relation 
$$\frac{m_q G_P(Q^2)}{M_N G_A(Q^2)} + \frac{Q^2 \tilde{G}_P(Q^2)}{4M_N^2 G_A(Q^2)} = 1$$

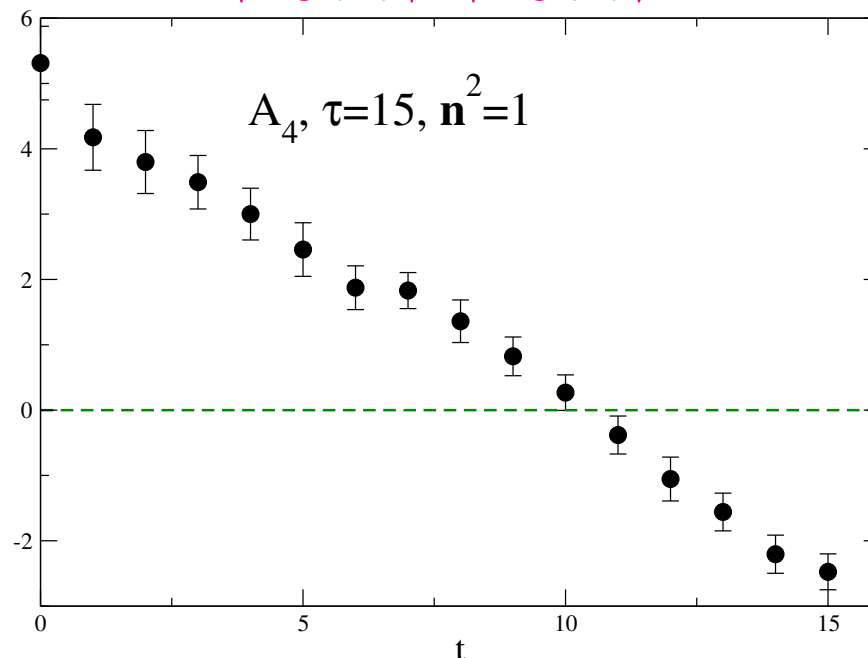
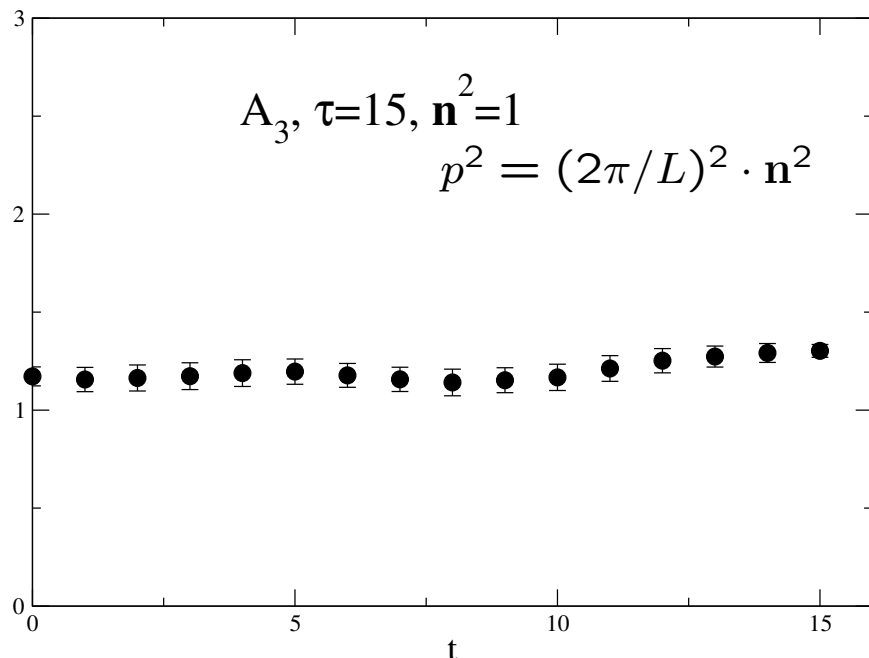
PPD 
$$\frac{\tilde{G}_P(Q^2) M_\pi^2 + Q^2}{G_A(Q^2) 4M_N^2} = 1$$

- 従来の解析方法だとどちらも成り立たない ( $\neq 1$ )
- $Q^2$  が小さくなるほどズレが大きくなる
- 2つのズレは一致している → 本質的に同じものを見ている?

### 問題③ $A_3$ と $A_i$ の違い

例)  $C_{O,p}^{3pt}(t, \tau)$  と  $C_p^{2pt}(t)$  の適切な比

基底状態の  $t$  依存性をなくし、比の値が  $\langle N_0(0) | \mathcal{O} | N_0(p) \rangle$



$A_3$ : ほぼ定数  $\rightarrow G_A(q^2), \tilde{G}_P(q^2)$  を決定

$A_4$ :  $t$  依存  $\rightarrow$  強烈的な励起状態の影響  $\rightarrow$  解析に使わない

有効理論を用いた議論 Oliver Bär ['19筑波大セミナー, PRD99:054506(2019)]

- $C_{A\mu,p}^{3pt}$  では  $N_1(p) = N(p)\pi(0)$ ,  $N_1(0) = N(p)\pi(-p)$  が大きな寄与
- $N(p)\pi(0), N(p)\pi(-p)$  を考慮した解析を行うと問題②, ③が解決できる

## 新しい解析方法 ( $\mathcal{S}_{A4}$ )

### 核子2点関数

$$C_p^{2\text{pt}}(t) = \text{Tr} \left[ \mathcal{P}_+ \langle 0 | N(t; p) \bar{N}(0; p) | 0 \rangle \right] = \sum_{i=0}^{N^{2\text{pt}}} B_i^2(p) e^{-E_i^{2\text{pt}}(p)t}$$

$\mathcal{P}_+ = (1 + \gamma_4)/2$ ,  $B_i(p)$ :核子演算子規格化定数,  $i$ :状態のラベル

### 核子3点関数

$$\begin{aligned} C_{O,p}^{3\text{pt}}(t, \tau) &= \text{Tr} \left[ \mathcal{P}_{53} \langle 0 | N(\tau; 0) \mathcal{O}(t; q) \bar{N}(0; p) | 0 \rangle \right] \\ &= \sum_{i,j=0}^{N^{3\text{pt}}} A_i^{\mathcal{O}}(0) A_j^{\mathcal{O}}(p) \overline{\langle N_i(0) | \mathcal{O}(0) | N_j(p) \rangle} e^{-M_i(p)(\tau-t)} e^{-E_j(p)t} \end{aligned}$$

$\mathcal{O} = A_\mu$  or  $P$ ,  $A_i^{\mathcal{O}}(p)$ :核子演算子規格化定数,  $\mathcal{P}_{53} = (1 + \gamma_4)\gamma_3\gamma_5/2$ ,  $i, j$ :状態のラベル

$$\begin{aligned} i = 0 : & E_0^{2\text{pt}}(p) = E_0(p), E_0^{2\text{pt}}(0) = M_0(p) = M_N, \underline{B_0(p) = A_0^{\mathcal{O}}(p)} \\ i \neq 0 : & E_i^{2\text{pt}}(p) \neq E_i(p) \neq M_i(p), B_i(p) \neq A_i^{\mathcal{O}}(p) \end{aligned}$$

(明記されていないが)

## 新しい解析方法 (続き)

$$C_p^{2\text{pt}}(t) = \sum_{i=0}^{N^{2\text{pt}}} B_i^2(p) e^{-E_i^{2\text{pt}}(p)t}$$

$$C_{O,p}^{3\text{pt}}(t, \tau) = \sum_{i,j=0}^{N^{3\text{pt}}} A_i^O(0) A_j^O(p) \overline{\langle N_i(0) | \mathcal{O}(0) | N_j(p) \rangle} e^{-M_i(p)(\tau-t)} e^{-E_j(p)t}$$

## $S_{A_4}$ 解析

1.  $N^{2\text{pt}} = 3$  で  $C_p^{2\text{pt}}(t)$  フィット  $\rightarrow E_0(p), B_0(p)$  ( $p=0$  も含む)
2.  $E_0(p), B_0(p)$  を使って  $N^{3\text{pt}} = 1$  で  $C_{A_4,p}^{3\text{pt}}(t, \tau)$  フィット  
 $\rightarrow E_1(p), M_1(p), \overline{\langle N_0(0) | A_4 | N_0(p) \rangle}$
3.  $E_0(p), B_0(p), E_1(p), M_1(p)$  を使って  $N^{3\text{pt}} = 1$  で  $C_{O,p}^{3\text{pt}}(t, \tau)$  フィット  
 $\rightarrow \overline{\langle N_0(0) | \mathcal{O} | N_0(p) \rangle}$

## シミュレーションパラメーター

Clover クォーク on  $N_f = 2 + 1 + 1$  HISQ ゲージ配位

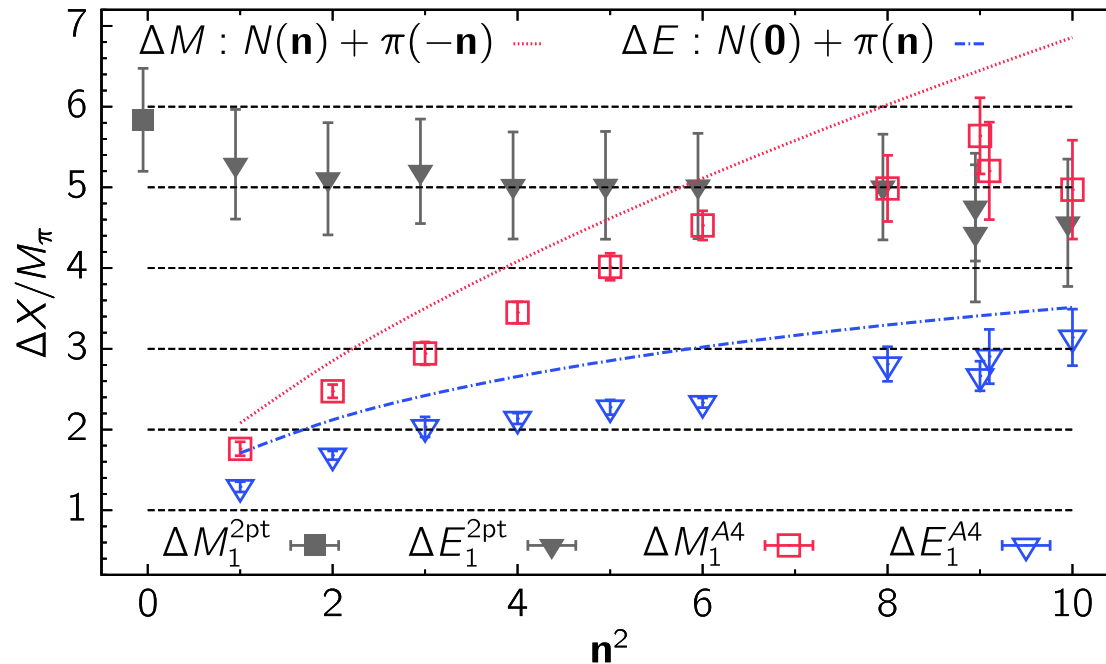
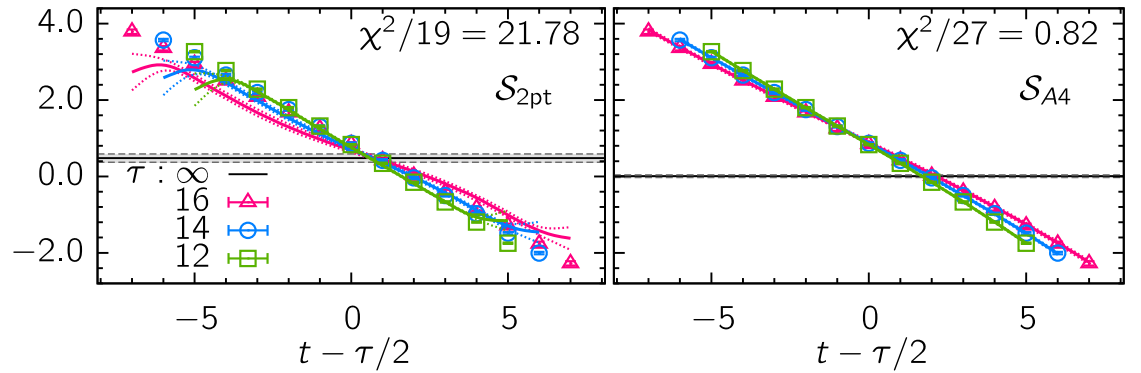
$M_\pi = 0.138(1)\text{GeV}$ ,  $L^3 \times T = 64^3 \times 96$ ,  $a = 0.087\text{fm}$

測定数  $165 \times 10^3$ , 配位数 1290,  $\tau = 12, 14, 16$

# $M_1(p)$ と $E_1(p)$

$$C_{A_4,p}^{3pt}(t, \tau) \text{ 比 } (n^2 = 1) \quad \mathcal{R}_{54}$$

$$p^2 = (2\pi/L)^2 \cdot n^2$$



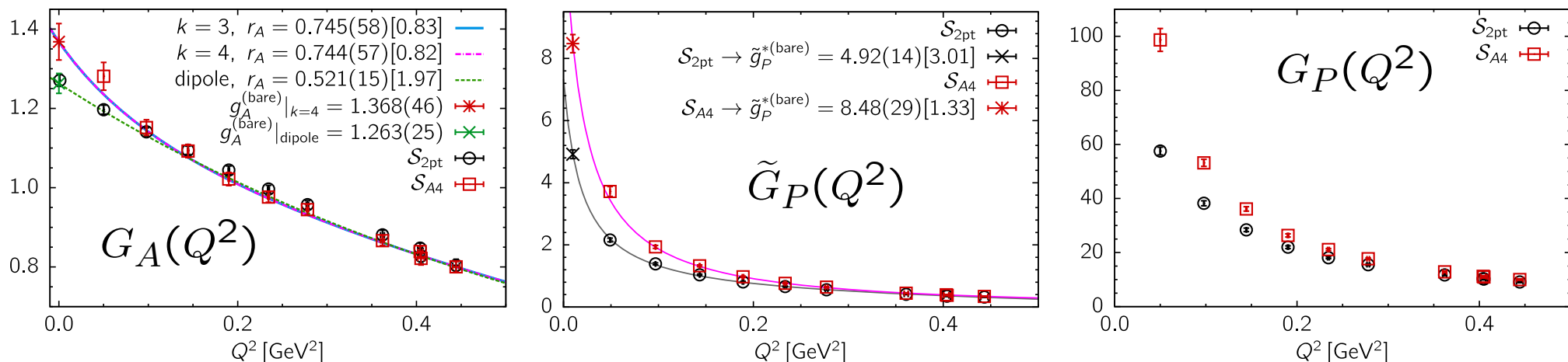
$$\Delta E_1^{2pt}(p) = E_1^{2pt}(p) - E_N(p) \gtrsim M_{N(1440)} - M$$

$$\Delta M_1(p) = M_1(p) - M_N \sim E_N(p) + E_\pi(p)$$

$$\Delta E_1(p) = E_1(p) - E_N(p) \sim M_N + E_\pi(p)$$

$\Delta M_1(p), \Delta E_1(p)$  は Oliver の予想と近い値

## $S_{2pt}$ と $S_{A4}$ の比較



- $G_A(Q^2)$  は最小の  $Q^2$  以外変化無し

最小の  $Q^2$  の値の変化により  $r_A = 0.45(7)\text{fm} \rightarrow 0.74(6)\text{fm}$   
 実験値を再現 (問題④)

$Q^2 = 0$  から決めた  $G_A(0) = 1.25(2) \rightarrow G_A(Q^2 \rightarrow 0) = 1.30(7)$

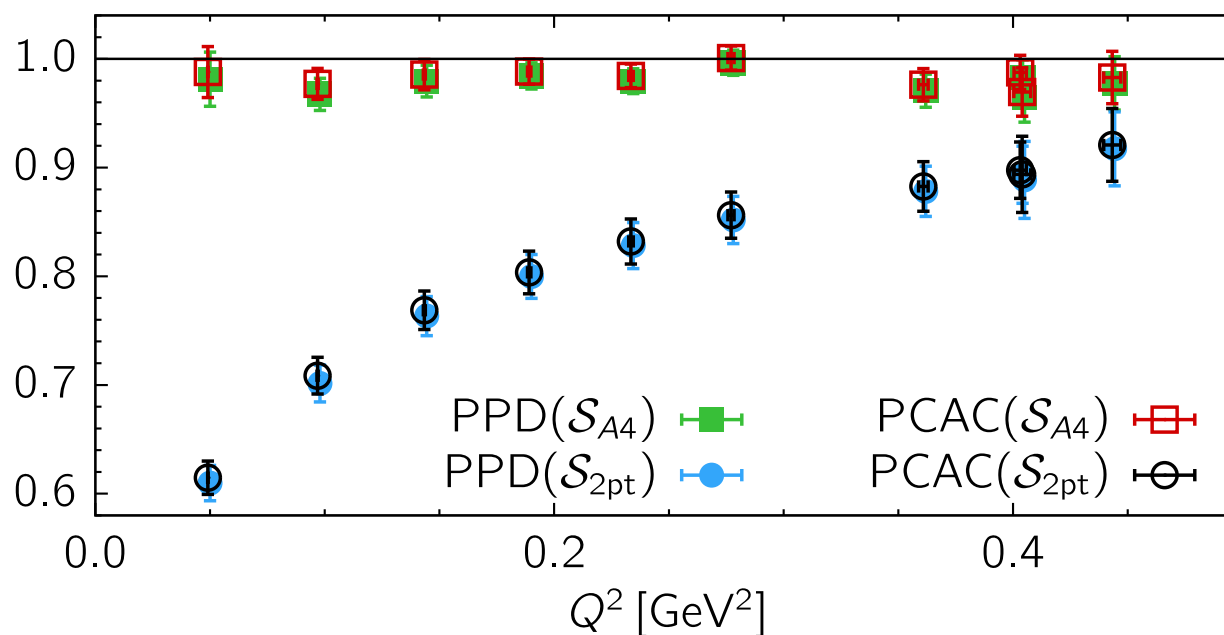
- $\tilde{G}_P(Q^2), G_P(Q^2)$  は増加。  $Q^2 \rightarrow$  小で影響  $\rightarrow$  大。最小の  $Q^2$  では約2倍

$$g_P^* = \frac{m_\mu}{2M_N} \tilde{G}_P(0.88m_\mu^2) = 4.67(24) \rightarrow 8.06(44)$$

muon capture 実験値  $g_P^* = 8.06(55)$  を再現

- $A_4$  から求められた  $G_A(Q^2), \tilde{G}_P(Q^2)$  も尤もらしい結果 (問題③)

## PCACとPPDの結果



PCAC relation 
$$\frac{m_q G_P(Q^2)}{M_N G_A(Q^2)} + \frac{Q^2 \tilde{G}_P(Q^2)}{4M_N^2 G_A(Q^2)} = 1$$

PPD 
$$\frac{\tilde{G}_P(Q^2) M_\pi^2 + Q^2}{G_A(Q^2) 4M_N^2} = 1$$

- $S_{A4}$ だとどちらも成り立つ (問題①,②)
- 2つの値は一致 → 本質的に同じものを見ている?

## まとめ

従来は使われていなかった  $C_{A_4,p}^{3pt}(t, \tau)$  を取り入れた  $S_{A_4}$  解析により  
 $G_A(Q^2), \tilde{G}_P(Q^2), G_P(Q^2)$  の問題を解決した

- PCAC relation と PPD が成り立つ  $G_A(Q^2), \tilde{G}_P(Q^2), G_P(Q^2)$
- $A_4$  から尤もらしい  $G_A(Q^2), \tilde{G}_P(Q^2)$
- $r_A$  が実験値を再現

## 理解できていない点

- $S_{2pt}$  と  $S_{A_4}$  の解析は  $\chi^2/\text{dof}$  では区別できない  
 $E_1(p), M_1(p)$  は大きく異なるが、 $C_{A_i,p}^{3pt}, C_{P,p}^{3pt}$  フィットの  $\chi^2/\text{dof}$  は同程度  
→  $E_1(p), M_1(p)$  を精度良く決める必要がある
- $G_A(Q^2)$  への影響が大き過ぎる?  
他グループの  $G_A(0)$  は実験値を再現  
→  $S_{A_4}$  の補正を入れると  $G_A(Q^2 \rightarrow 0)$  が実験値を超える?